

基于人工智能方法的近临界区 CO₂ 热物性模化与预测

丁璐,赵兵涛,姚佳成,马嘉欣

(上海理工大学 能源与动力工程学院,上海 200093)

摘要:为更准确预测 CO₂ 在临界点附近区域的热物性,分别建立了基于 BPNN, SVR 和 GPR 算法的智能模型来预测近临界区 CO₂ 的密度、粘度和导热系数,并将 3 种模型进行比较。结果表明:基于 BPNN 的密度($R^2 = 0.946\ 5$)和粘度($R^2 = 0.970\ 2$)预测模型相较于其他智能模型精度更高,而基于 SVR 的导热系数的模型预测精度更高($R^2 = 0.999\ 7$);所提出的智能模型相较于传统模型中 SW 密度方程($R^2 = 0.596\ 6$)、Laesecke 的粘度方程($R^2 = 0.844\ 5$)和 J&H 的导热系数方程($R^2 = 0.021\ 8$)的 R^2 提高了 14.88% ~ 444.5%。

关键词:二氧化碳;近临界区;热物性;智能算法

中图分类号:TK211 文献标识码:A DOI:10.16146/j.cnki.rndlgc.2022.11.018

[引用本文格式]丁璐,赵兵涛,姚佳成,等. 基于人工智能方法的近临界区 CO₂ 热物性模化与预测[J]. 热能动力工程,2022,37(11):139~143. DING Lu,ZHAO Bing-tao,YAO Jia-cheng,et al. Modeling and prediction of thermophysical properties of CO₂ in the region around the critical point using artificial intelligence models[J]. Journal of Engineering for Thermal Energy and Power,2022,37(11):139~143.

Modeling and Prediction of Thermophysical Properties of CO₂ in the Region around the Critical Point using Artificial Intelligence Models

DING Lu,ZHAO Bing-tao,YAO Jia-cheng,MA Jia-xin

(School of Energy and Power Engineering,University of Shanghai for Science and Technology,Shanghai,China,Post Code:200093)

Abstract: In order to more accurately predict the thermophysical properties of CO₂ in the region around the critical point, the intelligent models of BPNN, SVR and GPR were developed to predict and compared the density, viscosity and thermal conductivity of CO₂ in the near-critical region, respectively. The results show that the density ($R^2 = 0.946\ 5$) and viscosity ($R^2 = 0.970\ 2$) prediction models based on BPNN are more accurate than other intelligent models, and the thermal conductivity model based on SVR is more accurate ($R^2 = 0.999\ 7$). Compared with the SW density equation ($R^2 = 0.596\ 6$), Laesecke's viscosity equation ($R^2 = 0.844\ 5$) and J&H's thermal conductivity equation ($R^2 = 0.021\ 8$) in the traditional model, the R^2 of the proposed intelligent model is improved by 14.88% to 444.5%.

Key words: carbon dioxide, region around the critical point, thermophysical properties, intelligent model

引言

超临界二氧化碳(SCO₂)以其临界条件易实现

(临界温度 304.13 K、临界压力 7.38 MPa)、能量密

度高、稳定性好及腐蚀性低等优点,在太阳能发电、核电、火电及制冷循环系统领域中有巨大的应用潜力^[1~2]。SCO₂的热物性包括密度、粘度和导热系数等关键参数,对能效有重要影响。

近年来,CO₂热物性得到广泛的实验研究^[3~11]。

但是,由于临界效应的巨大影响^[12],CO₂在近临界区(300 K≤T≤310 K 和 7 MPa≤p≤8 MPa)的热力学性质发生剧烈变化,使得其精准预测变得较为困难。

近年来,SCO₂热物性参数的模化相继发展。至今 CO₂的热物性的关联式已有广泛研究,但在体现便捷性的同时往往不能满足精度的要求。其中,代表性的物性计算模型^[13~16]虽然在近临界区外都能保证较高精度,但在近临界区依然存在较大误差。例如,SW 密度方程^[13]在气相、液相和超临界区的误差小于 2%,但是在近临界区误差高达 9.65%;基于剩余理论的方程^[14]在预测粘度时也有 5.39% 的平均误差;以 Jarrahian 等人^[15]为代表的半经验导热系数模型误差达到 23.49%。因此,发展新的方法以实现其精准预测十分必要。

人工智能(Artificial Intelligence, AI)模型和算法近年在 CO₂热力学和传输物性预测方面获得应用,相比于传统的数学模型具有更优越的精确性能^[17~21]。但是,尚存在以下问题:(1)多数研究仅聚焦于其中一种热物理参数,使用同类型 AI 模型同时表征密度、粘度和导热系数的报道较少;(2)在模化过程中,划分数据集时多用随机划分的方式,导致预测模型随机性很大;(3)部分智能算法本身也存在易陷入局部的缺陷,导致网络结构参数难以达到最优化,泛化性能受到限制。

本文基于 AI 方法,分别进行密度、粘度和导热系数的精准预测。首先,建立基于不同类型的 AI 模型;其次,比较其预测精度;然后与传统的回归模型就泛化性能进行分析与评价,并建立了映射曲面关系图。

表 1 近临界区 CO₂热物性数据来源

Tab. 1 Data sources of CO₂ thermophysical properties in the near-critical region

热物性	样本数目	温度 T/K	压力 p/MPa	范围	范围文献
密度 ρ/g·cm ⁻³	145	300~308.15	7~7.9997	0.2190~0.7532	[3~6],[9],[11]
粘度 μ/μPa·s	151	300~310	7~8	19.4800~59.5000	[6~8]
导热系数 λ/mW·(m·K) ⁻¹	105	300~310	7~8	33.2800~163	[7],[10~11]

运用 Kennard-Stone^[25] 算法将每份数据按照 85%:15% 的比例划分为训练集和测试集以保证特征数据被有效学习。同时,使用归一化方法将原始数据映射到 [-1, 1] 区间内,以避免数据量级差异的影响。模型输出值最终经过反归一化转换成实际值。

1.3 参数设置

各模型的关键参数设置如表 2 所示。对于 BPNN, 隐含层神经元个数为 $2n + 1$, n 是输入变量个数。

表 2 模型设置

Tab. 2 Model parameter settings

模型	设置
BPNN	贝叶斯正则化, 神经元个数为 5
SVR	核函数为 RBF
GPR	核函数为平方指数核

1.4 评价指标

采用均方误差 (Mean Square Error, MSE) 和决定系数 R^2 来评价模型的精度。

$$MSE = \frac{1}{n} \sum_{i=1}^n (y_i - \hat{y}_i)^2 \quad (4)$$

$$R^2 = 1 - \sum_{i=1}^n (y_i - \hat{y}_i)^2 / \sum_{i=1}^n (y_i - \bar{y}_i)^2 \quad (5)$$

2 结果与分析

2.1 3 种模型预测精度比较

图 1 为基于 BPNN, SVR 和 GPR 模型的近临界区 CO₂ 物性预测散点图。

BPNN 对密度和粘度的预测精度最高: 密度模型的训练集和测试集的决定系数 R^2 分别为 0.993 2 和 0.946 5, 粘度的训练集和测试集的决定系数 R^2 分别为 0.993 9 和 0.970 2。是 SVR 模型对导热系数的预测效果最好, 其训练集和测试集 R^2 分别为 0.999 8 和 0.999 7。

2.2 与其它回归模型的比较

图 2 为在相同的测试集下, AI 模型与传统模型^[13~15] 的预测精度散点图。在近临界区, 相较于传统模型中用于密度计算的 SW 方程^[13]、用于粘度计算的 Laesecke 方程^[14] 及计算导热系数的 J&H 方

程^[15], AI 模型的预测值与实际值的吻合度都明显提高。基于 BPNN 模型的密度和粘度的测试集 R^2 分别从 0.596 6 和 0.844 5 提高到 0.946 5 和 0.970 2, 提高了 58.68% 和 14.88%。基于 SVR 的导热系数模型的 R^2 从 0.021 8 上升到 0.999 7, 提高了 4444.50%。同时, 基于智能算法的物性预测模型的 MSE 均显著降低, 预测精度明显提升。输入任意温度和压力值, 可以通过该模型得到对应的热物性。

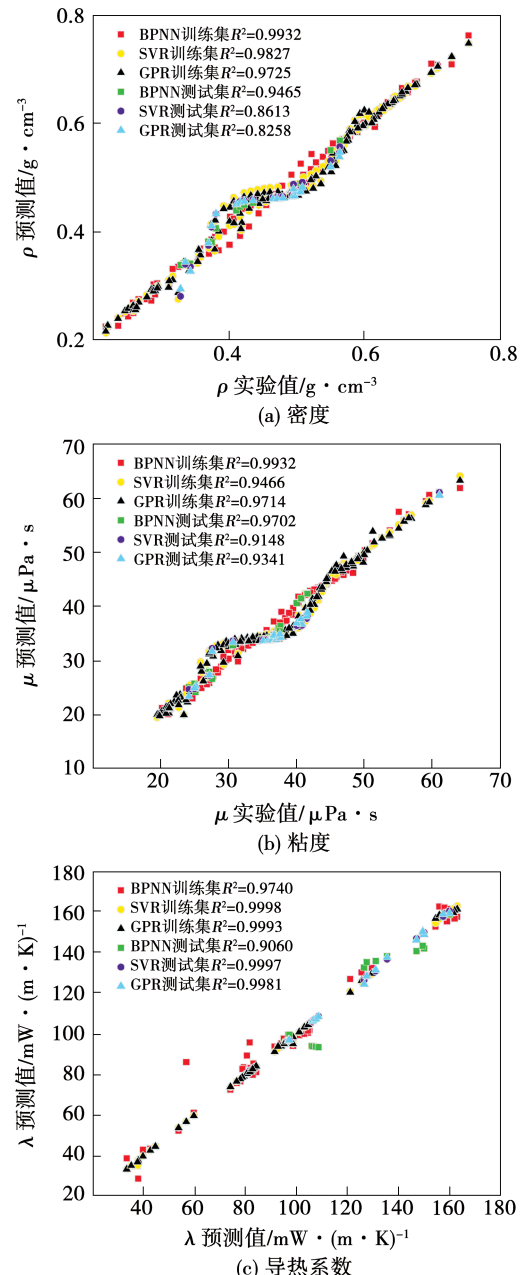


图 1 各模型预测精度散点图

Fig. 1 Model prediction scatter plot

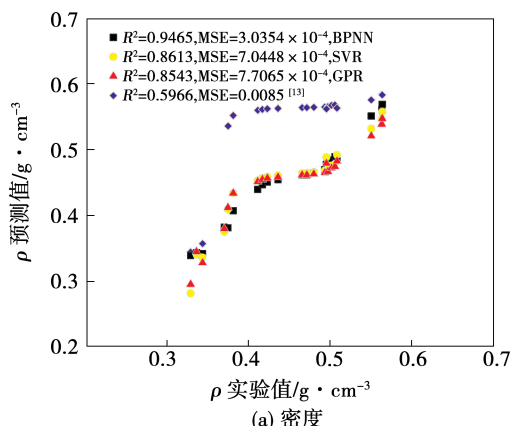
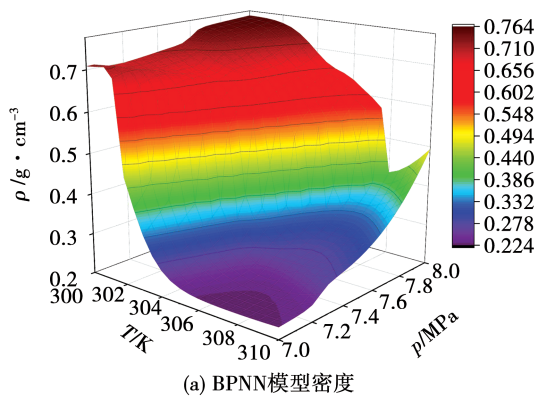


图 2 各模型预测精度对比

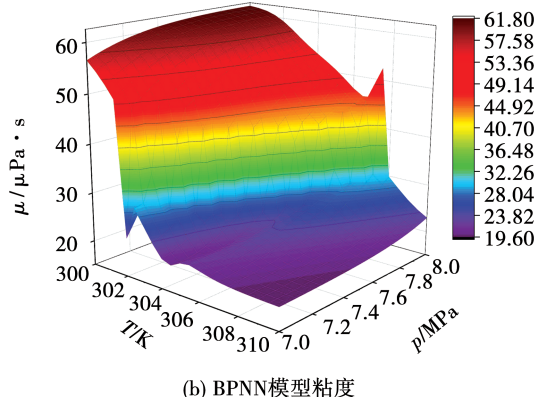
Fig. 2 Model prediction accuracy comparison

2.3 连续化预测曲面图

图 3 为近临界区给定温度压力, 基于 AI 算法的 CO_2 的密度、粘度和导热系数预测模型中精度最高的曲面图。其中, 图 3(a) 和图 3(b) 为 BPNN 模型, 图 3(c) 为 SVR 模型。虽然近临界区 CO_2 的热物性是复杂突变的, 但是给定任意温度和压力, 这些参数均可根据图 3 来精确确定, 从而为 CO_2 工质在近临界区附近热物性的理论计算提供相对精确的途径。



(a) BPNN 模型密度



(b) BPNN 模型粘度

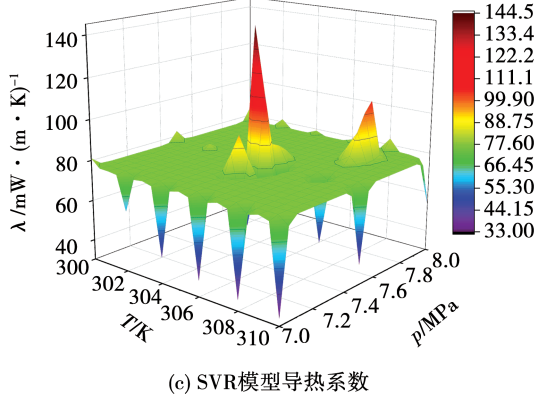


图 3 近临界区物性三维曲面图

Fig. 3 Three-dimensional surface graph of thermophysical properties in the region around the critical point

3 结 论

基于 K-S 算法进行数据划分, 建立了基于人工智能方法 BPNN, SVR 和 GPR 的近临界区 CO_2 热物性预测模型, 分析表明:

(1) 相较于其他模型, BPNN 的密度和粘度预测模型精度更高, 密度模型的训练集和测试集 R^2 分别为 0.993 2 和 0.946 5, 粘度模型的 R^2 分别为 0.993 9 和 0.970 2。SVR 模型对导热系数的预测精度更高, 其 R^2 分别为 0.999 8 和 0.999 7。

(2) BPNN 密度和粘度模型与传统模型中 SW 密

度方程和 Laesecke 的粘度方程进行比较, R^2 分别提高了 58.65% 和 14.88%。SVR 导热系数模型与文献 [15] 的导热系数方程进行比较, R^2 提高了 4.444.50%。

(3) 根据智能模型获得三维连续曲面图, 可用于准确估计近临界区任意温度和压力下的密度、粘度和热导系数。

参考文献:

- [1] 姚佳成, 赵兵涛, 杨其国, 等. SCO₂布雷顿循环发电系统与性能的综合分析比较[J]. 热能动力工程, 2021, 36(10): 162–170.
YAO Jia-cheng, ZHAO Bing-tao, YANG Qi-guo, et al. Comprehensive analysis and comparison of supercritical carbon dioxide Brayton cycle power generation system and performance[J]. Journal of Engineering for Thermal Energy and Power, 2021, 36 (10) : 162 – 170.
- [2] 赵兵涛, 杨其国, 李宇峰, 等. 千兆瓦级超临界 CO₂透平结构设计及性能分析[J]. 热能动力工程, 2021, 36(1): 33–37.
ZHAO Bing-tao, YANG Qi-guo, LI Yu-feng, et al. Design and performances of gigawatt-level supercritical carbon dioxide turbine [J]. Journal of Engineering for Thermal Energy and Power, 2021, 36 (1) ;33 – 37.
- [3] KENDEY G C. Pressure volume temperature relations in CO₂ at elevated temperatures and pressures[J]. American Journal of Science, 1954, 252(4): 225–241.
- [4] ZHANG Xi-feng, ZHANG Xiao-gang, HAN Bu-xing, et al. Determination of constant volume heat capacity of mixed supercritical fluids and study on the intermlecular interaction[J]. The Journal of Supercritical Fluids, 2002, 24(3): 193–201.
- [5] KODAMA D, SUGIYAMA K, ONO T, et al. Volumetric properties of carbon dioxide + isopropyl ethanoate mixtures at 308.15 and 313.15 K[J]. The Journal of Supercritical Fluids, 2008, 47(2): 128–134.
- [6] IWASAKI H, TAKAHASHI M. Viscosity of carbon dioxide and ethane[J]. Journal of Physical and Chemical Reference Data, 1981, 74(3): 1930–1943.
- [7] VESOVIC V, WAKEHAM W A, OLCHOWY G A, et al. The transport properties of carbon dioxide [J]. Journal of Physical and Chemical Reference Data, 1990, 19(3): 763–808.
- [8] GULIK P S V D. Viscosity of carbon dioxide in the liquid phase [J]. Physica, 1997, 238(1–4): 81–112.
- [9] PENSADO A S, PÁDUA A A H, COMUÑAS M J P, et al. Viscosity and density measurements for carbon dioxide + pentaerythritol ester lubricant mixtures at low lubricant concentration[J]. The Journal of Supercritical Fluids, 2008, 44(2): 172–185.
- [10] MICHELS A, SENGERS J V, GULIK P S V D. The thermal conductivity of carbon dioxide in the critical region II measurements and conclusions[J]. Physica, 1962, 28(12): 1216–1237.
- [11] SCALABRIN G, MARCHI P, FINEZZO F, et al. A reference multiparameter thermal conductivity equation for carbon dioxide with an optimized functional form[J]. Journal of Physical and Chemical Reference Data, 2006, 35(4): 1549–1575.
- [12] LI Bo, WANG Shun-sen, XU Yao-bo, et al. Study on the off-de-
- sign performance of supercritical carbon dioxide power cycle for waste heat recovery of gas turbine [J]. Energy Conversion and Management, 2021(233): 113890.
- [13] SPAN R, WAGNER W. A new equation of state for carbon dioxide covering the fluid region from the triple-point temperature to 1 100 K at pressures up to 800 MPa[J]. Journal of Physical and Chemical Reference Data, 1996, 25(6): 1509–1596.
- [14] LAESECKE A, MUZNY C D. Reference correlation for the viscosity of carbon dioxide[J]. Journal of Physical and Chemical Reference Data, 2017, 46(1): 013107.
- [15] JARRAHIAN A, HEIDARYAN E. A novel correlation approach to estimate thermal conductivity of pure carbon dioxide in the supercritical region [J]. The Journal of Supercritical Fluids, 2012 (64) ;39 – 45.
- [16] LEMMON E W, MCLINDEN M O, FRIEND D G. Thermophysical properties of fluid systems in NIST chemistry web book [OL]. <https://www.nist.gov/publications/thermophysical-properties-fluids>.
- [17] 章 聰, 江锦波, 彭旭东, 等. 近临界区 CO₂物性预测模型对比与修正[J]. 化工学报, 2019, 70(8): 3058–3070.
ZHANG Cong, JIANG Jin-bo, PENG Xu-dong, et al. Comparison and correction of CO₂ properties model in critical region [J]. Chemical Industry and Engineering Progress, 2019, 70 (8) : 3058 – 3070.
- [18] ABDOLBAGHI S, BARATI-HAROONI A, NAJAFI-MARGHMALEKI A. Improving the prediction ability of reference correlation for viscosity of carbon dioxide[J]. Journal of CO₂ Utilization, 2019(31): 106–114.
- [19] SHAMS R, ESMAILI S, RASHID S, et al. An intelligent modeling approach for prediction of thermal conductivity of CO₂ [J]. Journal of Natural Gas Science and Engineering, 2005, 27(2): 138–150.
- [20] TATAR A, BARATI-HAROONI A, NAJAFI-MARGHMALEKI A, et al. Predictive model based on ANFIS for estimation of thermal conductivity of carbon dioxide[J]. Journal of Molecular Liquids, 2016, 224(B): 1266–1274.
- [21] AMAR M N, GHAFAROKHI A J, ZERAIBI N. Predicting thermal conductivity of carbon dioxide using group of data-driven models[J]. Journal of the Taiwan Institute of Chemical Engineers, 2020(113): 165–177.
- [22] WONG W E, QI Y. BP neural network-based effective fault localization [J]. International Journal of Software Engineering and Knowledge Engineering, 2009, 19(4): 573–597.
- [23] MALEGORI C, JOSÉ E, MARQUES N, et al. Comparing the analytical performances of Micro-NIR and FT-NIR spectrometers in the evaluation of acerola fruit quality, using PLS and SVM regression algorithms[J]. Talanta, 2017(165): 112–116.
- [24] KORIYAMA T, NOSE T, KOBAYASHI T. Statistical parametric speech synthesis based on Gaussian process regression[J]. IEEE Journal of Selected Topics in Signal Processing, 2017, 8 (2) : 173 – 183.
- [25] KENNARD R W, STONE L A. Computer aided design of experiments[J]. Technometrics, 1969(11): 137–147.